

# Neue Synthesen alkylaryl- und diaryl-disubstituierter Phenole und Salicylsäure-ethylester

Karl Eichinger,<sup>a</sup> Peter Nussbaumer,<sup>a</sup> Sevil Balkan,<sup>a</sup> Gerhard Schulz<sup>b</sup>

<sup>a</sup> Institut für Organische Chemie der Technischen Universität Wien, Getreidemarkt 9, A-1060 Wien, Austria  
<sup>b</sup> Sandoz Forschungsinstitut, Brunner Straße 59, A-1235 Wien, Austria

## New Syntheses of Alkylaryl and Diaryl Disubstituted Phenols and Ethyl Salicylates

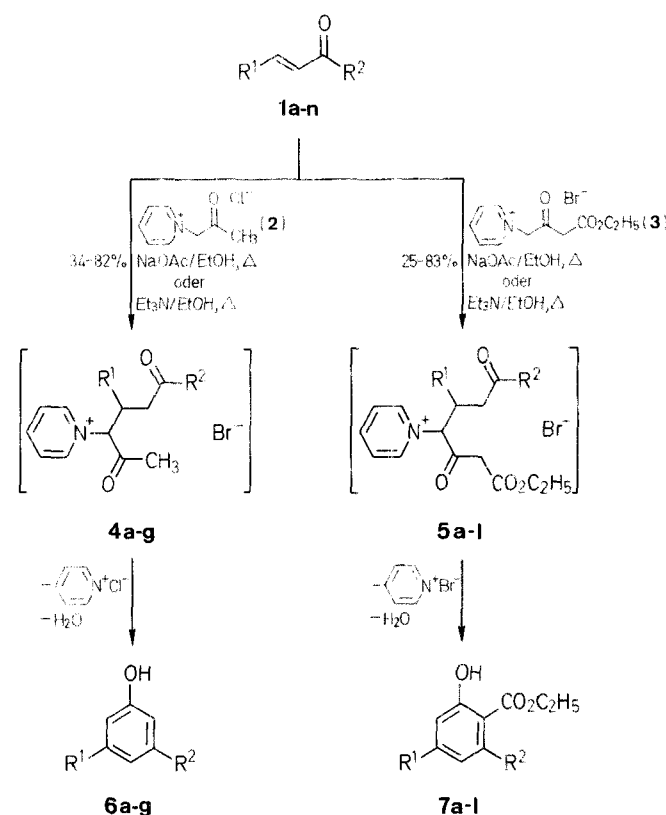
The sodium acetate- or triethylamine-catalyzed reaction of the chalcones and chalcone analogues **1a-n** with 1-(2-oxopropyl)pyridinium chloride (**2**) or 1-(3-ethoxycarbonyl-2-oxopropyl)pyridinium bromide (**3**) gives the 3,5-disubstituted phenols (**6a-g**) or the 4,6-disubstituted ethyl 2-hydroxybenzoates (**7a-l**) in yields from 25 to 83%. Both reactions fail for chalcones with one *o*-substituted aryl substituent or for *p,p'*-dinitro-substituted diarylchalcones.

In der basenkatalysierten Umsetzung der Chalkone (**1a-g**) mit 1-(2-Oxopropyl)-pyridiniumchlorid (**2**)<sup>1</sup> bzw. **1c-n** mit 1-(3-Ethoxycarbonyl-2-oxopropyl)-pyridiniumbromid (**3**) konnten neue Synthesewege zu 3,5-disubstituierten Phenolen (**6a-g**) bzw. 4,6-disubstituierten 2-Hydroxybenzoësäure-ethylestern (**7a-l**) aufgefunden werden. Diese haben gegenüber den bekannten Synthesen entsprechender Phenole<sup>2-17</sup> (Alkylierung bzw. Umalkylierung von Phenolen<sup>7,11,13,15</sup>, Hock-Versfahren<sup>8,12</sup>, Aromatisierung von Cyclohexenonen<sup>2,3,4,5,16,17</sup>, Decarboxylierung von Salicylsäuren<sup>3,6,14</sup>, Oxidation von Acetophenonen,<sup>10</sup> aus Anilinen durch Diazotierung und Verkochung<sup>9</sup> und durch Hydrolyse von Bromaromaten<sup>9</sup> sowie von Salicylsäure-estern<sup>18-20</sup> (Aromatisierung von Cyclohexenoncarbonsäure-estern<sup>19,20</sup> und Carboxylierung von Phenolen mit Brenzkatechindichlormethylether<sup>18</sup>), die Vorteile experimenteller Einfachheit, großer Anwendungsbreite und meist guter Ausbeute.

Während die Reaktionen der Chalkone **1a-g** mit **2** naturgemäß nur zu einem Phenol führen können, sind für die entsprechenden Umsetzungen von **1c-n** mit **3** zu Salicylsäure-ethylestern zwei Isomere möglich. Es wurde in jedem Falle jedoch nur ein Produkt der angegebenen Strukturen **7a-l** isoliert (Tabelle 1). Entstehende Nebenprodukte konnten durch Umkristallisieren bzw. einfache Säulenchromatographie leicht entfernt werden.

Die Stellungen der Reste R<sup>1</sup> und R<sup>2</sup> in **7f** und **7j** ergaben sich aus den chemischen Verschiebungen der Estergruppen. Während bei zwei aromatischen Resten R<sup>1</sup> und R<sup>2</sup> die Variation von R<sup>1</sup> bzw. R<sup>2</sup> keinen sehr großen Einfluß auf die chemischen Verschiebungen der Esterethylgruppen hat (**7a-e**, **7g-i**, und **7l**), wird für R<sup>2</sup> = Methyl (**7f**, **7j**) eine deutliche Entschirmung der Esterethylgruppe beobachtet. Somit muß R<sup>2</sup> = CH<sub>3</sub> der Estergruppe näher stehen als R<sup>1</sup>.

Für die zweifach aromatisch substituierten Salicylsäure-ester konnte basierend auf Kern-Overhauser-Effekt Messungen ein Strukturbeweis geführt werden. In 250 MHz <sup>1</sup>H-NMR-Spektren sind die Signale der aromatischen Protonen **7a-l** ausreichend aufgelöst. Am Beispiel der Verbindungen **7a**, **7d** und **7h** konnte gezeigt werden (Tabelle 3), daß beim Einstrahlen der Resonanzfrequenzen von H-2' bzw. H-6', Kern-Overhauser-Effekte bei den Protonen H-3 und H-5 auftreten. Daraus und aus den Aufspaltungsmustern von H-2' bzw. H-6' ergab sich, daß diese Protonen *ortho*-ständig in R<sup>1</sup> liegen müssen. Für **7a** wurde, wegen Gleichheit von R<sup>1</sup> und R<sup>2</sup>, die eine Zuordnung der Aromatenprotonensignale vorerst unmöglich machte, zusätzlich eine Einstrahlung der Resonanzfrequenzen von H-3'' bzw. H-5'' vorgenommen. Dabei wurde nur ein Kern-Overhauser-Effekt bei H-2'' bzw. H-6'' beobachtet, nicht jedoch an H-3 und H-5. Damit war auch die Lage von H-3'' bzw. H-5'' als



1, 4, 6	R <sup>1</sup>	R <sup>2</sup>
a	4-Pyridyl	C <sub>6</sub> H <sub>5</sub>
b	4-Pyridyl	2-Furyl
c	4-CIC <sub>6</sub> H <sub>4</sub>	4-CIC <sub>6</sub> H <sub>4</sub>
d	4-CH <sub>3</sub> OC <sub>6</sub> H <sub>4</sub>	4-CIC <sub>6</sub> H <sub>4</sub>
e	4-CIC <sub>6</sub> H <sub>4</sub>	C <sub>6</sub> H <sub>5</sub>
f	4-CH <sub>3</sub> OC <sub>6</sub> H <sub>4</sub>	C <sub>6</sub> H <sub>5</sub>
g	4-O <sub>2</sub> NC <sub>6</sub> H <sub>4</sub>	C <sub>6</sub> H <sub>5</sub>
h	4-Pyridyl	CH <sub>3</sub>
i	C <sub>6</sub> H <sub>5</sub>	C <sub>6</sub> H <sub>5</sub>
j	C <sub>6</sub> H <sub>5</sub>	4-CIC <sub>6</sub> H <sub>4</sub>
k	4-(CH <sub>3</sub> ) <sub>2</sub> NC <sub>6</sub> H <sub>4</sub>	C <sub>6</sub> H <sub>5</sub>
l	4-(CH <sub>3</sub> ) <sub>2</sub> NC <sub>6</sub> H <sub>4</sub>	CH <sub>3</sub>
m	C <sub>6</sub> H <sub>5</sub>	2-Furyl
n	C <sub>6</sub> H <sub>5</sub>	4-O <sub>2</sub> NC <sub>6</sub> H <sub>4</sub>

5, 7	R <sup>1</sup>	R <sup>2</sup>
a	4-CIC <sub>6</sub> H <sub>4</sub>	4-CIC <sub>6</sub> H <sub>4</sub>
b	4-CH <sub>3</sub> OC <sub>6</sub> H <sub>4</sub>	4-CIC <sub>6</sub> H <sub>4</sub>
c	4-CIC <sub>6</sub> H <sub>4</sub>	C <sub>6</sub> H <sub>5</sub>
d	4-CH <sub>3</sub> OC <sub>6</sub> H <sub>4</sub>	C <sub>6</sub> H <sub>5</sub>
e	4-O <sub>2</sub> NC <sub>6</sub> H <sub>4</sub>	C <sub>6</sub> H <sub>5</sub>
f	4-Pyridyl	CH <sub>3</sub>
g	C <sub>6</sub> H <sub>5</sub>	C <sub>6</sub> H <sub>5</sub>
h	C <sub>6</sub> H <sub>5</sub>	4-CIC <sub>6</sub> H <sub>4</sub>
i	4-(CH <sub>3</sub> ) <sub>2</sub> NC <sub>6</sub> H <sub>4</sub>	C <sub>6</sub> H <sub>5</sub>
j	4-(CH <sub>3</sub> ) <sub>2</sub> NC <sub>6</sub> H <sub>4</sub>	CH <sub>3</sub>
k	C <sub>6</sub> H <sub>5</sub>	2-Furyl
l	C <sub>6</sub> H <sub>5</sub>	4-O <sub>2</sub> NC <sub>6</sub> H <sub>4</sub>

**Tabelle 1.** Phenole **6a–g** und Salicylsäure-ethylester **7a–l** aus Chalkonen bzw. Chalcon-Analogen **1a–n**

Produkt	Chalkon	Methode	Reaktionszeit (h)	Ausbeute (%)	Fp (°C) (umkrist. aus)	Summenformel <sup>b</sup> (Molmasse)
<b>6a</b>	<b>1a</b> <sup>24</sup>	A	2	51	228–229 (OH)	C <sub>17</sub> H <sub>13</sub> NO (247.3)
<b>6b</b>	<b>1b</b> <sup>25</sup>	A	2	58	246–248 (OH)	C <sub>15</sub> H <sub>11</sub> NO <sub>2</sub> (237.3)
<b>6c<sup>a</sup></b>	<b>1c</b> <sup>26</sup>	B	5	52	156–157 (Cyclohexan)	C <sub>18</sub> H <sub>12</sub> Cl <sub>2</sub> O (315.2)
<b>6d<sup>a</sup></b>	<b>1d</b> <sup>27</sup>	B	11	62	135 (C <sub>6</sub> H <sub>6</sub> /PE <sup>c</sup> )	C <sub>19</sub> H <sub>15</sub> ClO <sub>2</sub> (310.8)
<b>6e</b>	<b>1e</b> <sup>28,29</sup>	B	8	34	110–112 (C <sub>6</sub> H <sub>6</sub> /PE)	C <sub>18</sub> H <sub>13</sub> ClO (280.8)
<b>6f<sup>a</sup></b>	<b>1f</b> <sup>30</sup>	B	15	40	131 (Cyclohexan)	C <sub>19</sub> H <sub>16</sub> O <sub>2</sub> (276.3)
<b>6g<sup>a</sup></b>	<b>1g</b> <sup>31</sup>	B	2	82	193 (EtOH)	C <sub>18</sub> H <sub>13</sub> NO <sub>3</sub> (291.3)
<b>7a</b>	<b>1c</b> <sup>26</sup>	A	2	71	122 (MeOH)	C <sub>21</sub> H <sub>16</sub> Cl <sub>2</sub> O <sub>3</sub> (387.3)
<b>7b</b>	<b>1d</b> <sup>27</sup>	A	7	49	112 (MeOH)	C <sub>22</sub> H <sub>19</sub> ClO <sub>4</sub> (382.9)
<b>7c</b>	<b>1e</b> <sup>28,29</sup>	A	2	30	103–103 (MeOH)	C <sub>21</sub> H <sub>17</sub> ClO <sub>3</sub> (352.8)
<b>7d</b>	<b>1f</b> <sup>30</sup>	A	10	27	100–101 (MeOH)	C <sub>22</sub> H <sub>20</sub> O <sub>4</sub> (348.4)
<b>7e</b>	<b>1g</b> <sup>31</sup>	B	3	83	156 (EtOH)	C <sub>21</sub> H <sub>17</sub> NO <sub>5</sub> (363.4)
<b>7f</b>	<b>1h</b> <sup>32</sup>	A	2	34	86–87 (-Pr <sub>2</sub> O)	C <sub>15</sub> H <sub>15</sub> NO <sub>3</sub> (257.3)
<b>7g</b>	<b>1i</b> <sup>33</sup>	A	4	60	87 (MeOH)	C <sub>21</sub> H <sub>18</sub> O <sub>3</sub> (318.4)
<b>7h</b>	<b>1j</b> <sup>34</sup>	A	5	50	117–119 (MeOH)	C <sub>21</sub> H <sub>17</sub> ClO <sub>3</sub> (352.8)
<b>7i</b>	<b>1k</b> <sup>35</sup>	B	5	63	160–161 (EtOH)	C <sub>23</sub> H <sub>23</sub> NO <sub>3</sub> (361.4)
<b>7j<sup>a</sup></b>	<b>1l</b> <sup>35</sup>	B	14	25	126 (EtOH)	C <sub>18</sub> H <sub>21</sub> NO <sub>3</sub> (299.4)
<b>7k<sup>a</sup></b>	<b>1m</b> <sup>36</sup>	B	5	51	85 (EtOH/H <sub>2</sub> O)	C <sub>19</sub> H <sub>16</sub> O <sub>4</sub> (308.3)
<b>7l<sup>a</sup></b>	<b>1n</b> <sup>37</sup>	B	2	53	164 (EtOH)	C <sub>21</sub> H <sub>17</sub> NO <sub>5</sub> (363.4)

<sup>a</sup> Säulenchromatographische Reinigung des Rohproduktes (CH<sub>2</sub>Cl<sub>2</sub>/Kieselgel).<sup>b</sup> Alle Verbindungen gaben befriedigende Mikroanalysen: C ± 0.27, H ± 0.22, N ± 0.12; außer **7j**: C – 0.66.<sup>c</sup> PE = Petrolether (40–60 °C).**Tabelle 2.** <sup>1</sup>H-NMR-spektroskopische Daten der Phenole **6a–g** und der Salicylsäure-ethylester **7a–l**.

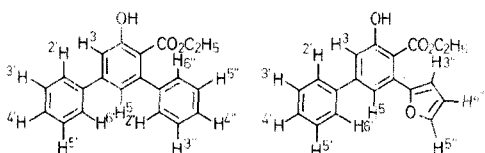
Verbindung	<sup>1</sup> H-NMR (TMS) <sup>a</sup> δ, J(Hz)	Verbindung	<sup>1</sup> H-NMR (TMS) <sup>a</sup> δ, J(Hz)
<b>6a</b>	(DMSO-d <sub>6</sub> ): 7.3–8.8 (m, 12H <sub>arom</sub> ); 10.0 (br s, 1H, OH)	<b>7e</b>	(DMSO-d <sub>6</sub> ): 0.80 (t, 3H, J = 6, CH <sub>2</sub> CH <sub>3</sub> ); 4.11 (q, 2H, J = 6, CH <sub>2</sub> CH <sub>3</sub> ); 6.9–8.3 (m, 11H <sub>arom</sub> ); 11.1 (br s, 1H, OH)
<b>6b</b>	(DMSO-d <sub>6</sub> ): 6.5–6.8 (m, 1H <sub>furan</sub> ); 7.0–7.9 (m, 9H <sub>arom</sub> ); 10.0 (br s, 1H, OH)	<b>7f</b>	(CDCl <sub>3</sub> ): 1.55 (t, 3H, J = 6, CH <sub>2</sub> CH <sub>3</sub> ); 2.75 (s, 3H, ArCH <sub>3</sub> ); 4.56 (q, 2H, J = 6, CH <sub>2</sub> CH <sub>3</sub> ); 7.1–8.9 (m, 6H <sub>arom</sub> ); 11.6 (br s, 1H, OH)
<b>6c</b>	(DMSO-d <sub>6</sub> /CDCl <sub>3</sub> , 1:1): 7.1–7.9 (m, 11H <sub>arom</sub> ); 8.6 (br s, 1H, OH)	<b>7g</b>	(CDCl <sub>3</sub> ): 0.70 (t, 3H, J = 6, CH <sub>2</sub> CH <sub>3</sub> ); 3.95 (q, 2H, J = 6, CH <sub>2</sub> CH <sub>3</sub> ); 7.0–7.8 (m, 12H <sub>arom</sub> ); 10.9 (br s, 1H, OH)
<b>6d</b>	(DMSO-d <sub>6</sub> ): 3.75 (s, 3H, OCH <sub>3</sub> ); 6.8–7.7 (m, 11H <sub>arom</sub> ); 9.9 (br s, 1H, OH)	<b>7h</b>	(CDCl <sub>3</sub> ): 0.81 (t, 3H, J = 6, CH <sub>2</sub> CH <sub>3</sub> ); 4.02 (q, 2H, J = 6, CH <sub>2</sub> CH <sub>3</sub> ); 6.8–8.0 (m, 11H <sub>arom</sub> ); 11.1 (br s, 1H, OH)
<b>6e</b>	(CDCl <sub>3</sub> ): 5.5 (br s, 1H, OH); 7.0–7.9 (m, 12H <sub>arom</sub> )	<b>7i</b>	(CDCl <sub>3</sub> ): 0.70 (t, 3H, J = 6, CH <sub>2</sub> CH <sub>3</sub> ); 2.96 (s, 6H, N(CH <sub>3</sub> ) <sub>2</sub> ); 4.04 (q, 2H, J = 6, CH <sub>2</sub> CH <sub>3</sub> ); 6.7–7.9 (m, 11H <sub>arom</sub> ); 11.4 (br s, 1H, OH)
<b>6f</b>	(CDCl <sub>3</sub> ): 3.85 (s, 3H, OCH <sub>3</sub> ); 5.9 (br s, 1H, OH); 6.9–7.9 (m, 12H <sub>arom</sub> )	<b>7j</b>	(CDCl <sub>3</sub> ): 1.41 (t, 3H, J = 6, CH <sub>2</sub> CH <sub>3</sub> ); 2.52 (s, 3H, ArCH <sub>3</sub> ); 2.89 (s, 3H, N(CH <sub>3</sub> ) <sub>2</sub> ); 4.34 (q, 2H, J = 6, CH <sub>2</sub> CH <sub>3</sub> ); 6.7–7.7 (m, 6H <sub>arom</sub> ); 11.3 (br s, 1H, OH)
<b>6g</b>	(CDCl <sub>3</sub> ): 7.2–8.7 (m, 12H <sub>arom</sub> ); 10.0 (br s, 1H, OH)	<b>7k</b>	(CDCl <sub>3</sub> ): 1.11 (t, 3H, J = 6, CH <sub>2</sub> CH <sub>3</sub> ); 4.20 (q, 2H, J = 6, CH <sub>2</sub> CH <sub>3</sub> ); 6.4–6.6 (m, 3H <sub>furan</sub> ); 7.1–7.8 (m, 7H <sub>arom</sub> ); 10.6 (br s, 1H, OH)
<b>7a</b>	(CDCl <sub>3</sub> ): 0.80 (t, 3H, J = 6, CH <sub>2</sub> CH <sub>3</sub> ); 4.05 (q, 2H, J = 6, -CH <sub>2</sub> -CH <sub>3</sub> ); 6.9–7.6 (m, 10H <sub>arom</sub> ); 11.0 (br s, 1H, OH)	<b>7l</b>	(CDCl <sub>3</sub> ): 0.77 (t, 3H, J = 6, CH <sub>2</sub> CH <sub>3</sub> ); 4.03 (q, 2H, J = 6, CH <sub>2</sub> CH <sub>3</sub> ); 6.8–8.4 (m, 11H <sub>arom</sub> ); 11.2 (br s, 1H, OH)
<b>7b</b>	(CDCl <sub>3</sub> ): 0.80 (t, 3H, J = 6, CH <sub>2</sub> CH <sub>3</sub> ); 3.80 (s, 3H, OCH <sub>3</sub> ); 4.02 (q, 2H, J = 6, CH <sub>2</sub> CH <sub>3</sub> ); 6.8–7.7 (m, 10H <sub>arom</sub> ); 11.1 (br s, 1H, OH)		
<b>7c</b>	(CDCl <sub>3</sub> ): 0.75 (t, 3H, J = 6, CH <sub>2</sub> CH <sub>3</sub> ); 4.05 (q, 2H, J = 6, CH <sub>2</sub> CH <sub>3</sub> ); 7.0–7.7 (m, 11H <sub>arom</sub> ); 11.0 (br s, 1H, OH)		
<b>7d</b>	(CDCl <sub>3</sub> ): 0.70 (t, 3H, J = 6, CH <sub>2</sub> CH <sub>3</sub> ); 3.68 (s, 3H, OCH <sub>3</sub> ); 3.86 (q, 2H, J = 6, CH <sub>2</sub> CH <sub>3</sub> ); 6.7–7.9 (m, 11H <sub>arom</sub> ); 11.0 (s, 1H, OH)		

<sup>a</sup> Aufgenommen an einem Perkin-Elmer R 12 A-Spektrometer.

metaständige Protonen in R<sup>2</sup> in **7a** gesichert. Aus den verbleibenden aromatischen Protonensignalen ergab sich deren Zuordnung. Ein Vergleich der chemischen Verschiebungen der somit zuordenbaren Signale für H-2' bzw. H-6' und H-2'' bzw. H-6'' in **7a**, **7d** und **7h** ergab einen deutlichen Effekt der Ethoxycarbonylgruppe: es sind jeweils in R<sup>1</sup>, analog zum Diphenyl, die Resonanzsignale der *ortho*-ständigen H-Atome gegenüber jenen der *meta*-ständigen H-Atomen jeweils zu tieferem, die Resonanzsi-

gnale der *ortho*-ständigen H-Atome in R<sup>2</sup> zu höherem Feld verschoben. Dieser Unterschied läßt sich dadurch erklären, daß R<sup>2</sup>, bedingt durch die sterische Wechselwirkung mit der Ethoxycarbonylgruppe, aus der Ebene des Salicylsäure-esteararomatens herausgedrängt wird und die *ortho*-ständigen H-Atome somit unter- und oberhalb dieses Aromaten zu liegen kommen, wodurch sie statt eines entschirmenden einen abschirmenden Einfluß der magnetischen Anisotropie erfahren. Da somit gesichert

**Tabelle 3.** Strukturzuordnungen der Salicylsäure-ethylester **7a–e**, **7g–i**, **7k** und **7l** durch 250 MHz <sup>1</sup>H-NMR-Spektren und Kern-Overhauser-Effekte<sup>a</sup>



Verbindung	<sup>1</sup> H-NMR (CDCl <sub>3</sub> /TMS) <sup>b</sup> <i>δ, J</i> (Hz)
<b>7a</b>	6.978 (H-5, NOE von H-2' und H-6' 26%); 7.24 (H-2'' und H-6''); 7.248 (H-3, NOE von H-2' und H-6' 28%); 7.445 (H-3' und H-5'); 7.58 (H-2' und H-6')
<b>7b</b>	6.945 (H-5); 6.96 (H-3' und H-5'); 7.20 (H-2'' und H-6''); 7.205 (H-3); 7.345 (H-3'' und H-5''); 7.56 (H-2' und H-6'')
<b>7c</b>	6.98 (H-5); 7.18 (H-3)
<b>7d</b>	6.938 (H-3' und H-5', NOE von H-2' und H-6' 20%); 7.003 (H-5, NOE von H-2' und H-6' 15%); 7.201 (H-3, NOE von H-2' und H-6' 16%); 7.26 (H-2'' und H-6''); 7.30–7.36 (H-3'' und H-5' und H-4', Zuordnung austauschbar)
<b>7e</b>	7.005 (H-5); 7.26 (H-3); 7.28 (H-2'' und H-6''); 7.36–7.44 (H-3'' und H-5'' und H-4'', Zuordnung austauschbar); 7.765 (H-2' und H-6'); 8.28 (H-3' und H-5')
<b>7g</b>	7.032 (H-5); 7.244 (H-3); 7.25 (H-2'' und H-6''); 7.29–7.35 (H-3'' und H-5'' und H-4'', Zuordnung austauschbar); 7.32–7.43 (H-3' und H-5' und H-4', Zuordnung austauschbar); 7.59 (H-2' und H-6')
<b>7h</b>	6.99 (H-5, NOE von H-2' und H-6' 16%); 7.205 (H-2'' und H-6''); 7.256 (H-3, NOE von H-2' und H-6' 24%); 7.345 (H-3'' und H-5''); 7.36–7.46 (H-3' und H-5' und H-4', Zuordnung austauschbar); 7.61 (H-2' und H-6')
<b>7i</b>	6.755 (H-3' und H-5'); 7.025 (H-5); 7.21 (H-3); 7.28 (H-2'' und H-6''); 7.32–7.38 (H-3'' und H-5'' und H-4'', Zuordnung austauschbar); 7.56 (H-2' und H-6')
<b>7k</b>	6.448 (H-3', <i>J</i> <sub>3,4</sub> = 3.23); 6.479 (H-4', <i>J</i> <sub>3,5</sub> = 0.9); 7.207 (H-5, NOE von H-3' und H-4' 14%); 7.245 (H-3); 7.35–7.48 (H-3' und H-5' und H-4', Zuordnung austauschbar); 7.475 (H-5', <i>J</i> = 1.8, NOE von H-3' und H-4' 10%); 7.61 (H-2' und H-6')
<b>7l</b>	6.98 (H-5); 7.31 (H-3); 7.40–7.50 (H-3' und H-5' und H-4', Zuordnung austauschbar); 7.46 (H-2'' und H-6''); 7.62 (H-2' und H-6'); 8.255 (H-3'' und H-5'')

<sup>a</sup> Nur relevante Signale sind angegeben.

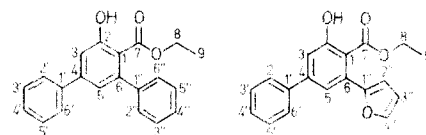
<sup>b</sup> Aufgenommen an einem Bruker WM 250 MHz-Spektrometer.

war, daß sich die Signallagen der *ortho*-ständigen H-Atome in R<sup>1</sup> und R<sup>2</sup> um ca. 0.3 ppm und somit im 250 MHz-Spektrum deutlich unterscheiden, konnte dieser Effekt für die Zuordnung der Lage von R<sup>1</sup> und R<sup>2</sup> verwendet werden (Tabelle 3).

**7k** stellt in diesem Zusammenhang einen Sonderfall dar. Die Struktur von **7k** konnte wie folgt bewiesen werden. Die Furanyl-H-3'' und -H-4'' erschienen im 250 MHz-Spektrum gegen Furanyl-H-5'' und den restlichen Aromatenprotonensignalen ausreichend aufgelöst, sodaß eine Zuordnung über die Kopplungskonstanten möglich war (Tabelle 3). Beim Einstrahlen der Resonanzfrequenzen von H-3'' bzw. H-4'' wurden Kern-Overhauser-Effekte bei H-5'' und H-5 beobachtet. Daraus ergab sich eindeutig die Stellung des Furanylrestes als R<sup>2</sup> in **7k**.

Die Kontrolle auf Isomerenfreiheit erfolgte für **7f** und **7j** mittels DC und durch <sup>1</sup>H-NMR-Spektren (Tabelle 2), für **7a–e**, **7g–i**, **7k** und **7l** mittels DC und 250 MHz <sup>13</sup>C-Spektren (Tabelle 4). Diese analytischen Befunde sind mit dem folgenden Reaktionsablauf vereinbar, wodurch auch die Strukturanalysen bestätigt

**Tabelle 4.** <sup>13</sup>C-NMR-spektroskopische Daten der Salicylsäure-ethylster **7a–e**, **7g–i**, **7k** und **7l**



Verbindung	<sup>13</sup> C-NMR (CDCl <sub>3</sub> /TMS) <sup>a,b,c</sup> <i>δ</i>
<b>7a</b>	13.00 (C-9); 61.18 (C-8); 110.81 (C-1); 114.89 (C-3); 120.86 (C-5); 127.63 (C-2' und C-6'); 128.27 (C-2' und C-6'); 128.96 (C-3' und C-5'); 129.47 (C-3'' und C-5''); 132.84 (C-4'); 135.33 (C-1'); 135.75 (C-4'); 143.14 (C-1''); 144.17 (C-6); 144.82 (C-4); 162.22 (C-2); 170.37 (C-7)
<b>7b</b>	12.97 (C-9); 55.12 (OCH <sub>3</sub> ); 60.96 (C-8); 109.88 (C-1); 114.22 (C-3 und C-3' und C-5'); 120.63 (C-5); 127.52 (C-2'' und C-6'); 128.14 (C-2' und C-6'); 128.96 (C-1'); 132.61 (C-4'); 143.87 (C-1'); 143.93 (C-6); 145.75 (C-4); 160.15 (C-4'); 162.27 (C-2); 170.48 (C-7)
<b>7c</b>	12.91 (C-9); 60.98 (C-8); 111.12 (C-1); 114.53 (C-3); 121.07 (C-5); 126.76 (C-4'); 127.54 (C-2'' und C-6''); 128.12 (C-3'' und C-5'); 128.24 (C-2' und C-6'); 128.96 (C-3' und C-5'); 134.66 (C-4'); 135.92 (C-1'); 144.60 (C-1''); 144.71 (C-4); 145.60 (C-6); 162.02 (C-2); 170.67 (C-7)
<b>7d</b>	12.92 (C-9); 55.23 (OCH <sub>3</sub> ); 60.82 (C-8); 110.22 (C-1); 113.94 (C-3); 114.24 (C-3' und C-5'); 120.91 (C-5); 126.60 (C-4'); 127.47 (C-2' und C-6'); 128.18 (C-3'' und C-5''); 128.25 (C-2' und C-6'); 129.62 (C-1'); 145.22 (C-1''); 145.39 (C-6); 145.68 (C-4); 160.73 (C-4'); 162.07 (C-2); 170.84 (C-7)
<b>7e</b>	12.92 (C-9); 61.24 (C-8); 112.29 (C-1); 115.21 (C-3); 121.36 (C-5); 124.05 (C-3' und C-5'); 126.78 (C-4'); 127.69 (C-2' und C-6''); 127.99 (C-2' und C-6'); 128.09 (C-3'' und C-5''); 142.67 (C-1'); 144.36 (C-1'); 145.69 (C-6); 148.04 (C-4'); 162.01 (C-2); 170.52 (C-7)
<b>7g</b>	12.89 (C-9); 60.86 (C-8); 110.82 (C-1); 114.64 (C-3); 121.34 (C-5); 125.99 (C-4'); 127.08 (C-2' und C-6'); 127.47 (C-2' und C-6''); 128.13 (C-3'' und C-5''); 128.74 (C-3' und C-5'); 129.22 (C-4'); 139.05 (C-1'); 144.96 (C-1''); 145.39 (C-6); 146.08 (C-4); 161.97 (C-2); 177.77 (C-7)
<b>7h</b>	13.09 (C-9); 61.18 (C-8); 110.65 (C-1); 115.16 (C-3); 121.32 (C-5); 127.16 (C-2' und C-6'); 127.68 (C-2'' und C-6''); 128.88 (C-3' und C-5'); 129.58 (C-3'' und C-5''); 129.63 (C-4'); 132.49 (C-4'); 137.17 (C-1'); 143.72 (C-1''); 144.08 (C-6); 146.38 (C-4); 162.26 (C-2); 170.59 (C-7)
<b>7i</b>	13.00 (C-9); 40.31 (NCH <sub>3</sub> ); 60.74 (C-8); 109.51 (C-1); 112.43 (C-3' und C-5'); 113.10 (C-3); 120.50 (C-5); 126.60 (C-4'); 126.67 (C-1'); 127.47 (C-2'' und C-6'); 127.89 (C-2' und C-6''); 128.25 (C-3'' und C-5''); 143.57 (C-1''); 145.31 (C-6); 146.20 (C-4); 150.75 (C-4'); 162.19 (C-2); 171.01 (C-7)
<b>7k</b>	13.70 (C-9); 61.34 (C-8); 107.35 (C-2' und C-6''); 111.01 (C-1); 111.05 (C-3' und C-5'); 115.95 (C-3); 121.08 (C-5); 127.05 (C-2' und C-6'); 128.43 (C-4'); 128.80 (C-3' und C-5'); 133.21 (C-6); 139.10 (C-1'); 141.86 (C-4'); 146.44 (C-4); 154.11 (C-1'); 161.58 (C-2); 170.33 (C-7)
<b>7l</b>	13.11 (C-9); 61.37 (C-8); 110.03 (C-1); 115.99 (C-3); 120.91 (C-5); 122.80 (C-3' und C-5'); 127.12 (C-2' und C-6'); 128.94 (C-3' und C-5'); 129.19 (C-2'' und C-6''); 130.14 (C-4'); 136.39 (C-1'); 142.86 (C-6); 146.23 (C-4'); 146.71 (C-4); 152.53 (C-1'); 162.59 (C-2); 170.06 (C-7)

<sup>a</sup> Zuordnung durch Vergleich mit Diphenyl, 4-Chlordiphenyl, 4-Methoxydiphenyl, 4-Nitrodiphenyl und Salicylsäure-ethylester.

<sup>b</sup> <sup>1</sup>H-breitbandenkoppelte Spektren.

<sup>c</sup> Aufgenommen an einem Bruker WM-250 Spektrometer (250 MHz).

werden. Durch Michael-Addition des Pyridinium-salzes **2** bzw. **3** an ein Chalkon **1a–n**, entsprechend dem 1. Schritt der Pyridinsynthese nach Kröhnke<sup>21</sup> entstehen vorerst 1,5-Diketone (**4a–g** bzw. **5a–l**) als Zwischenprodukte. Diese erfahren, abweichend von der für ein derartiges Zwischenprodukt beschriebenen,<sup>22</sup> durch Alkali hervorgerufenen, Schmidt-Spaltung, eine basenkatalysierte Kondensation der dem Chalkon entstammenden Carbonylgruppe mit der Methylgruppe (für **2**), bzw. der Ethoxycarbonylmethylengruppe (für **3**), unter Abspaltung von Pyridinhydrohalid und Ausbildung des aromatischen Ringes.

Die Reaktion versagt für Chalkone mit *o*-Substituenten in einem Arylrest (z. B. Chlor) und für sowohl in R<sup>1</sup> als auch in R<sup>2</sup> in *p*-Stellung nitrosubstituierte Diarylchalkone.

#### 1-(3-Ethoxycarbonyl-2-oxopropyl)-pyridiniumbromid (3):

Bromacetessigester<sup>23</sup> (20.9 g, 0.1 mol) und abs. Pyridin (7.9 g, 0.1 mol) werden in abs. EtOAc (250 mL) 5 h bei 40°C gerührt. Das Lösungsmittel wird abfiltriert, der Rückstand mit abs. Ether digeriert, abgesaugt und aus abs. EtOH/abs. EtOAc (200 mL, 1:1) umkristallisiert. Filterbare, hygrokopische, bräunliche Kristalle werden meist erst nach einigen Tagen stehen im Kühlschrank erhalten; Ausbeute: 17.9 g (52%); Fp 189–191°C.

C<sub>11</sub>H<sub>14</sub>BrNO<sub>3</sub> ber. C 45.85 H 4.90 N 4.86  
(288.2) gef. 45.50 4.73 4.62

<sup>1</sup>H-NMR (DMSO-*d*<sub>6</sub>/TMS): δ = 1.22 (t, 3 H, J = 6 Hz, OCH<sub>2</sub>CH<sub>3</sub>); 3.96 (s, 2 H, COCH<sub>2</sub>CO); 4.04 (q, 2 H, J = 7 Hz, OCH<sub>2</sub>CH<sub>3</sub>); 6.12 (s, 2 H, N<sup>+</sup>CH<sub>2</sub>CO); 8.3–9.4 (m, 5 H<sub>pyr</sub>).

#### Phenole **6a–g** und Salicylsäure-ethylester **7a–l**; allgemeine Arbeitsvorschrift:

Chalkon **1a–g** (10 mmol) und Pyridiniumsalz **2** (2.57 g, 15 mmol) bzw. Chalkon **1c–n** und Pyridinium-salz **3** (4.32 g, 15 mmol) werden nach Methode A mit wasserfreiem NaOAc (2.46 g, 30 mmol) und EtOH (50–100 mL, je nach Löslichkeit des Chalkons) oder nach Methode B mit abs. Et<sub>3</sub>N (3.03 g, 15 mmol) in abs. EtOH (50–100 mL, je nach Löslichkeit des Chalkons), bis zum völligen Umsatz des Chalkons I (DC-Kontrolle) gekocht. Dann wird mit H<sub>2</sub>O (500 mL) verdünnt und mit CHCl<sub>3</sub> (3 × 100 mL) extrahiert. Die vereinigten Chloroformextrakte werden mit getrocknet (Na<sub>2</sub>SO<sub>4</sub>) und eingedampft. Falls keine Kristallisation erfolgt wird mit Methylenechlorid an Kieselgel säulenchromatographiert.

Received: 6 March 1987; revised: 15 July 1987

- (1) Kröhnke, F. *Ber. Dtsch. Chem. Ges.* **1933**, *66*, 604.
- (2) Polaczkowa, W., Porowska, N. *Roczn. Chem.* **1960**, *34*, 1659.
- (3) Deusel, W. *Helv. Chim. Acta* **1951**, *34*, 168.
- (4) Sexsmith, D.R., Rassweiler, J.H. *J. Org. Chem.* **1960**, *25*, 1229.
- (5) Petrow, A.D. *Ber. Dtsch. Chem. Ges.* **1929**, *62*, 642.
- (6) Kenner, J., Shaw, H. *J. Chem. Soc.* **1931**, 769.
- (7) Samsonova, I.N., Khotyntseva, L.I. *Z. Obshch. Khim.* **1957**, *27*, 3180; *C. A.* **1958**, *52*, 9004.
- (8) Shepard, A. *U.S. Patent* 3444246 (1966), Hooker Chemical Co.; *C. A.* **1969**, *71*, 21875.
- (9) Elder, J.W., Mariella, R.P. *Can. J. Chem.* **1963**, *41*, 1653.
- (10) Burgstahler, A.W., Chien, P.L., Abdel-Rahman, M.D. *J. Am. Chem. Soc.* **1964**, *86*, 5281.
- (11) Norell, J.R. *J. Org. Chem.* **1973**, *38*, 1929.
- (12) Seidel, F., Schulze, M., Baltz, H. *J. Prakt. Chem.* **1956**, *3*, 278.
- (13) Schulte-Huermann, W., Kersting, A. *D.B.P.* 1280255 (1965), Farbf. Bayer; *C. A.* **1969**, *70*, 19795.
- (14) Prelog, V., Metzler, O., Jeger, O. *Helv. Chim. Acta* **1947**, *30*, 675.
- (15) Kamoshita, K., Nakai, S. *D.O.S.* 2117435 (1971; Jap. Prior., 1970), Sumitomo Chemical Co.; *C. A.* **1972**, *76*, 24910.
- (16) Chitwood, H.C., Fitzpatrick, J.T., Fowler, G.W., Freure, B.T. *Ind. Eng. Chem.* **1952**, *44*, 1696.
- (17) Horning, E.C., Horning, M.G. *J. Am. Chem. Soc.* **1947**, *69*, 1359.
- (18) Gross, H., Rusche, J., Mirsch, M. *Chem. Ber.* **1963**, *96*, 1382.
- (19) Hanson, G.A. *Bull. Soc. Chim. Belg.* **1956**, *65*, 1025.
- (20) Hanson, G.A. *Bull. Soc. Chim. Belg.* **1957**, *66*, 244.
- (21) Kröhnke, F. *Synthesis* **1976**, 1.
- (22) Kröhnke, F., Zecher, W. *Angew. Chem.* **1962**, *74*, 811; *Angew. Chem. Int. Ed. Engl.* **1962**, *1*, 626.
- (23) Burger, A., Ulliyot, G.E. *J. Org. Chem.* **1947**, *12*, 346.
- (24) Hüning, S., Garner, B.J., Ruider, G., Schenk, W. *Liebigs Ann. Chem.* **1973**, *1*, 1036.
- (25) Schröder, L., Thomas, K., Göth, H. *Ger. Offen.* 2147288 (1973), C.M. Boehringer Sohn; *C. A.* **1973**, *78*, 159434.
- (26) Straus, F., Ackermann, A. *Ber. Dtsch. Chem. Ges.* **1909**, *42*, 1812.
- (27) Straus, F., Blankenhorn, H. *Liebigs Ann. Chem.* **1918**, *415*, 256.
- (28) Walther, V., Rätze, R. *J. Prakt. Chem.* **1902**, *65*, 280.
- (29) Raiford, L.C., Davis, H.L. *J. Am. Chem. Soc.* **1928**, *50*, 161.
- (30) Kohler, E.P., Conant, J.P. *J. Am. Chem. Soc.* **1917**, *39*, 1702.
- (31) Sorge, R. *Ber. Dtsch. Chem. Ges.* **1902**, *35*, 1065.
- (32) Marvel, C.S., Stille, J.K. *J. Org. Chem.* **1957**, *22*, 1451.
- (33) Kostanecki, S., Rossbach, G. *Ber. Dtsch. Chem. Ges.* **1896**, *29*, 1488.
- (34) Dawey, W., Gwilt, D. *J. Chem. Soc.* **1937**, 1008.
- (35) Sachs, F., Lewin, W. *Ber. Dtsch. Chem. Ges.* **1902**, *35*, 3577.
- (36) Borsche, W., Lecitschke, H., Lange, K. *Ber. Dtsch. Chem. Ges.* **1938**, *71*, 961.
- (37) Szmant, H.H., Basso, A.J. *J. Am. Chem. Soc.* **1952**, *74*, 4397.